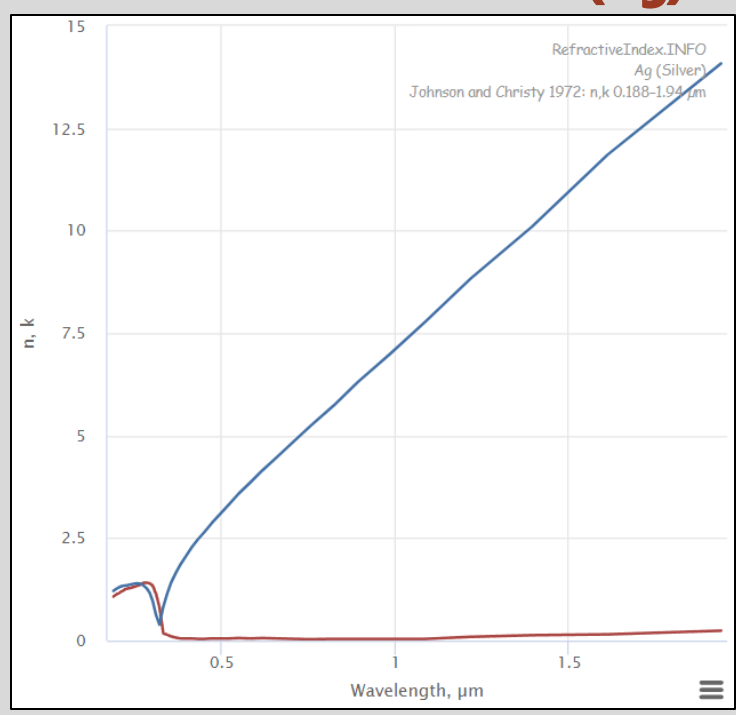
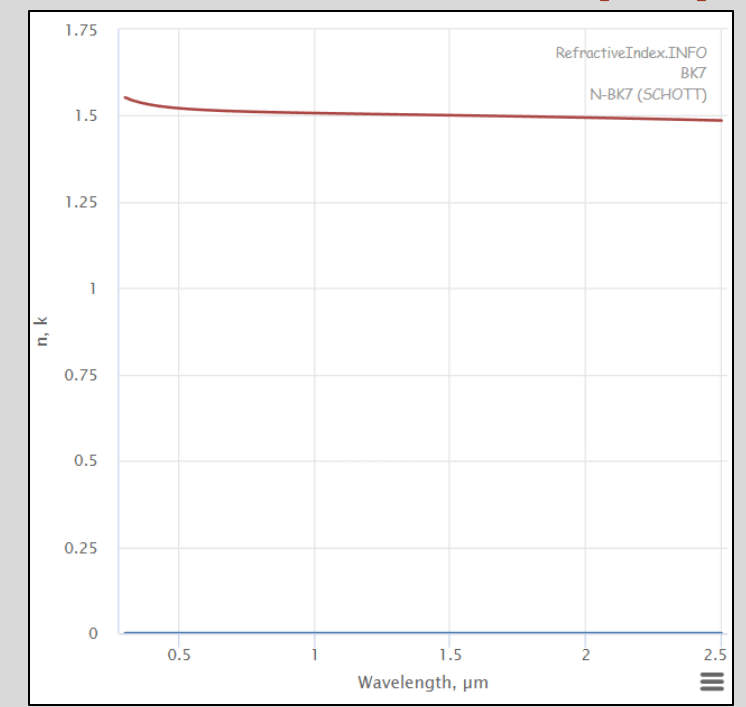
Refração e reflexão total

Os metais têm índice de refração menor que 1 e complexo.

Dados de n e k da Prata (Ag)



Dados de n e k do vidro (BK7)

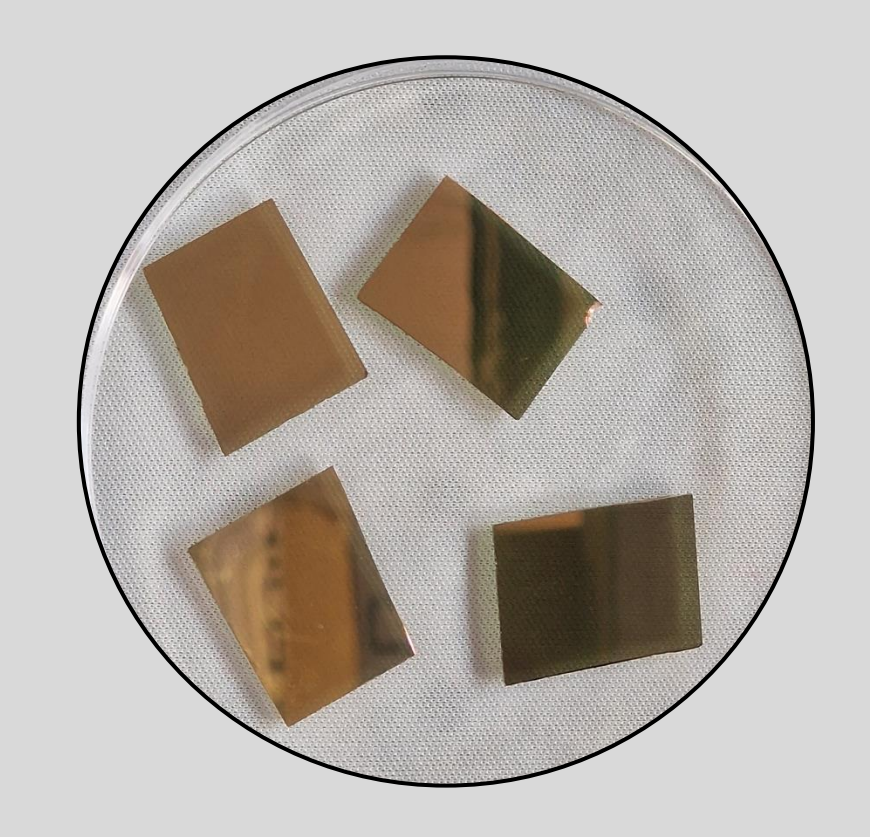


$$\tilde{n} = n + ik$$

n: índice de refraçãok: coeficiente de extinção

Ressonância de Plasmões de Superfície

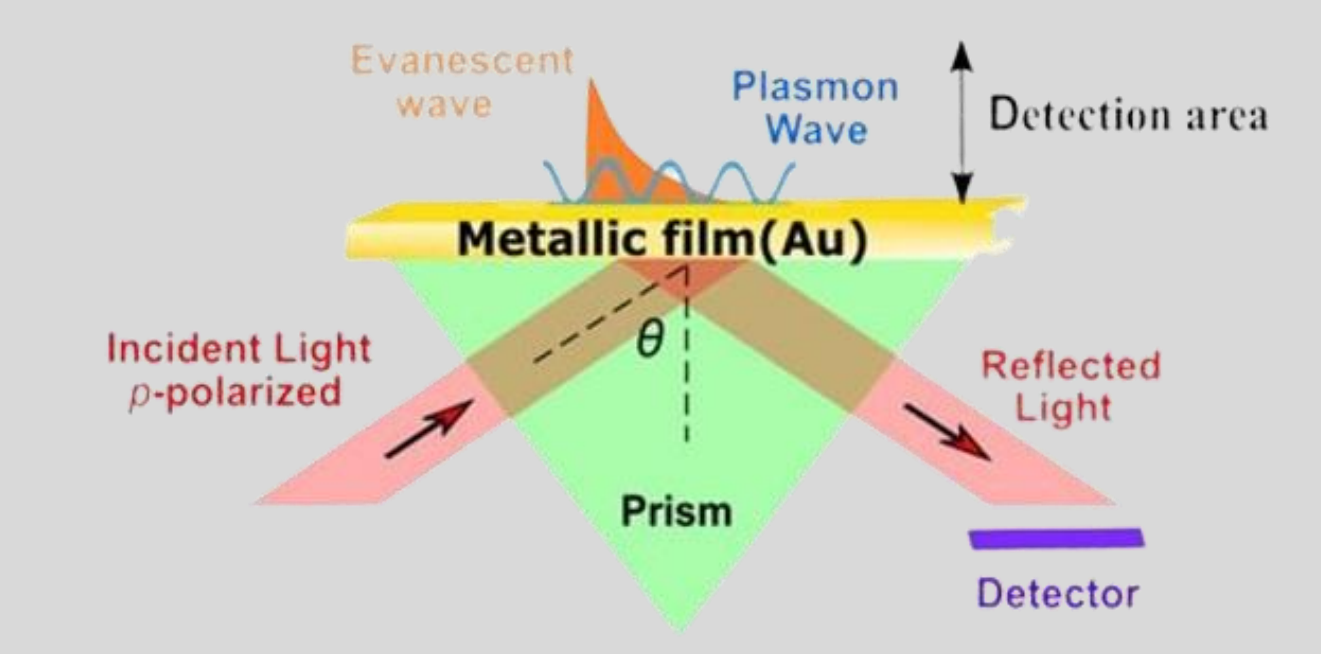
Projetos - Escola de Verão de Física 2024





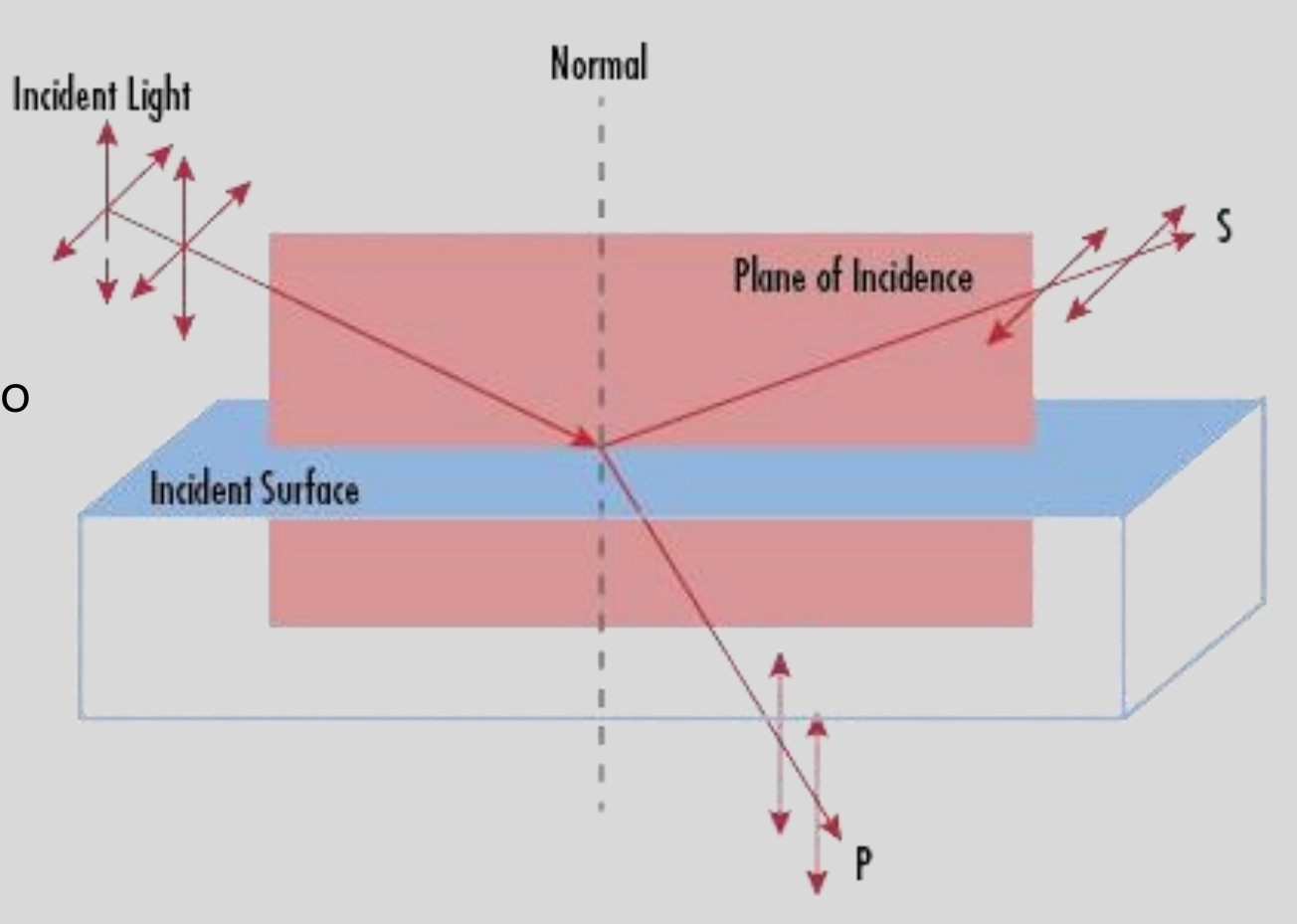
A Teoria por detrás da SPR

- Índice de refração dos metais
- Polarização da Luz
- Ressonância Plasmónica de Superfície



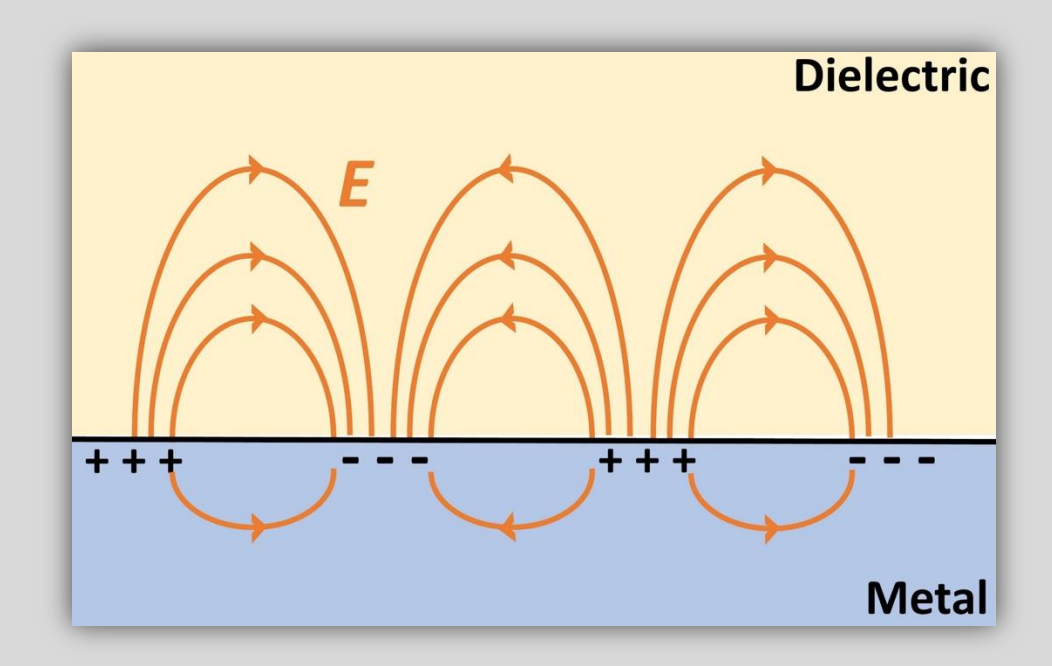
Polarização-P da Luz

- $ightharpoonup \vec{B}$ é **transversal** à direção de propagação
- $ightharpoonup \vec{E}$ é **paralelo** à direção de propagação



Ressonância Plasmónica de Superfície

- Excitação de eletrões de superfície de um metal (plasmões de superfície) através da onda evanescente da luz.
- ➤ A **ressonância** só ocorre em condições especificas de comprimento de onda, angulo de incidência e propriedades dos materiais luz é absorvida pela estrutura.



Simulação

- Otimização das espessuras
- Calculo das sensibilidades
- Avaliar a Figura de Mérito

Dióxido de Titânio

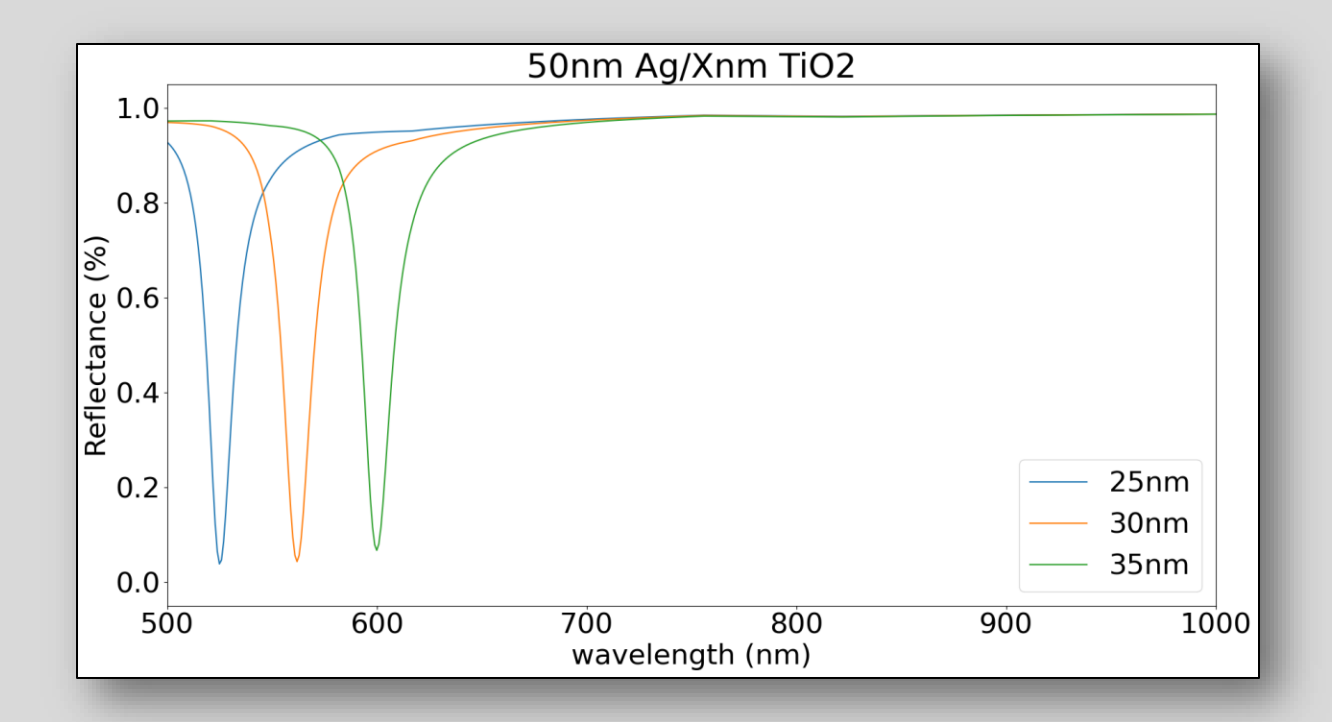
Ouro / Prata

Vidro

```
[(base) macbookPro:Desktop michael$ python specializedLibraries.py
Without NumPy
Complex operation. Input index: 0
Complex operation. Input index: 1
Complex operation. Input index: 2
Complex operation. Input index: 3
Complex operation, Input index: 4
Complex operation. Input index: 5
Complex operation. Input index: 6
Complex operation. Input index: 7
Complex operation. Input index: 8
Complex operation. Input index: 9
run_complex_operations took 9.517sec
NumPy
Complex operation (numpy). Input index: 0
Complex operation (numpy). Input index: 1
Complex operation (numpy). Input index: 2
Complex operation (numpy). Input index: 3
Complex operation (numpy). Input index: 4
Complex operation (numpy). Input index: 5
Complex operation (numpy). Input index: 6
Complex operation (numpy). Input index: 7
Complex operation (numpy). Input index: 8
Complex operation (numpy). Input index: 9
run_complex_operations took 858.90ms
```

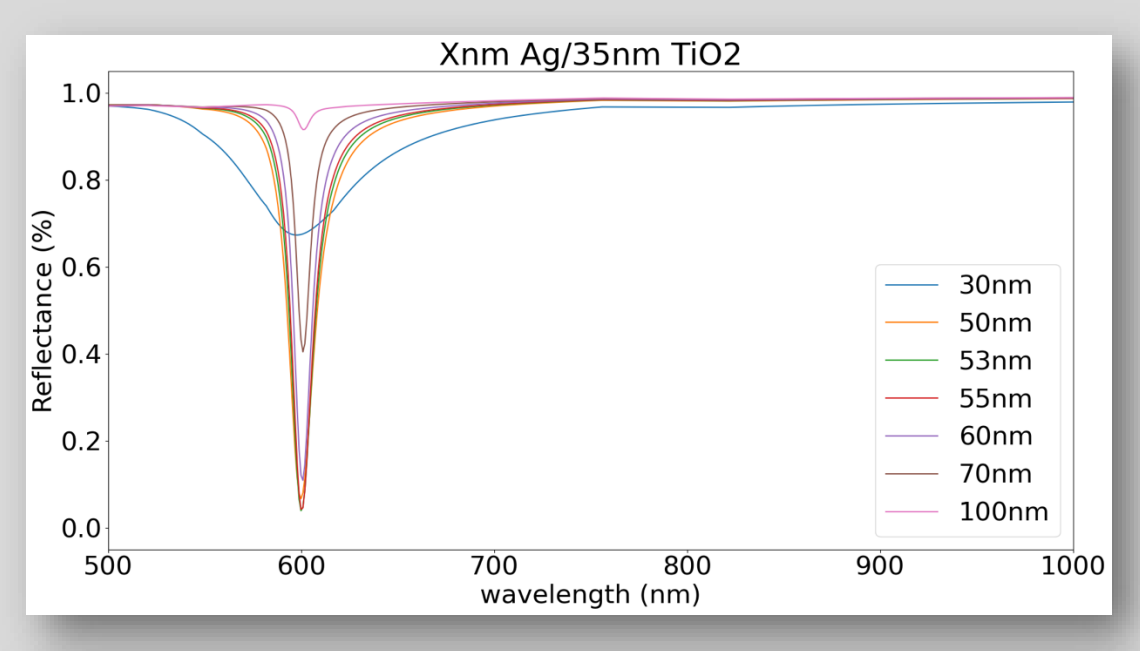
Otimização das espessuras (TiO₂)

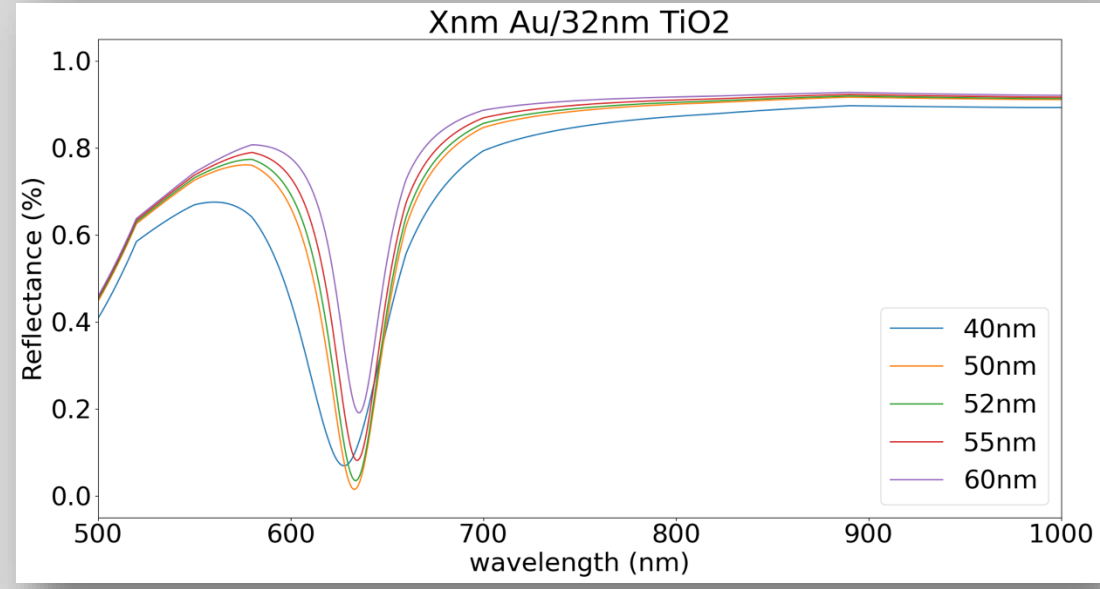
Quanto maior a espessura de TiO₂ maior é o comprimento de onda de ressonância, uma vez que o índice de refração efetivo do meio externo aumenta.



Otimização das espessuras (Au/Ag)

- Efeitos da espessura da camada de material na banda de comprimentos de onda.
- Impacto do alargamento das bandas de comprimento de onda na deteção da SPR.
- Necessidade de otimizar uma espessura ideal.





Cálculo das Sensibilidades

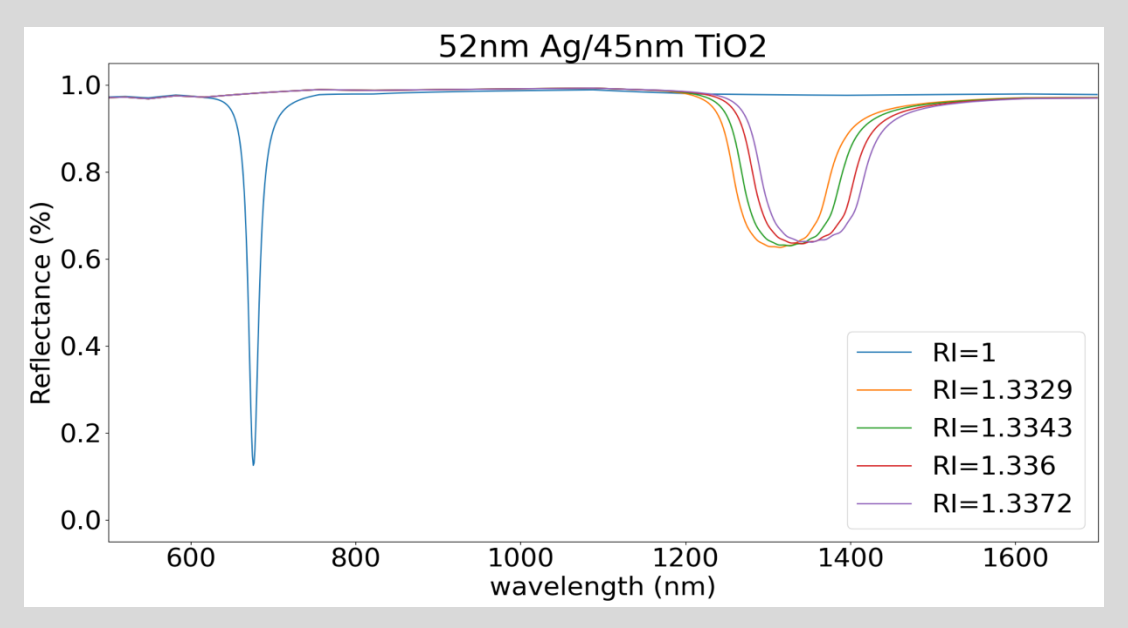
- Descoberta dos mínimos e das larguras a meia altura da banda para os vários índices de refração considerados.
- Cálculo efetivo da sensibilidade a partir dos dados anteriormente obtidos.

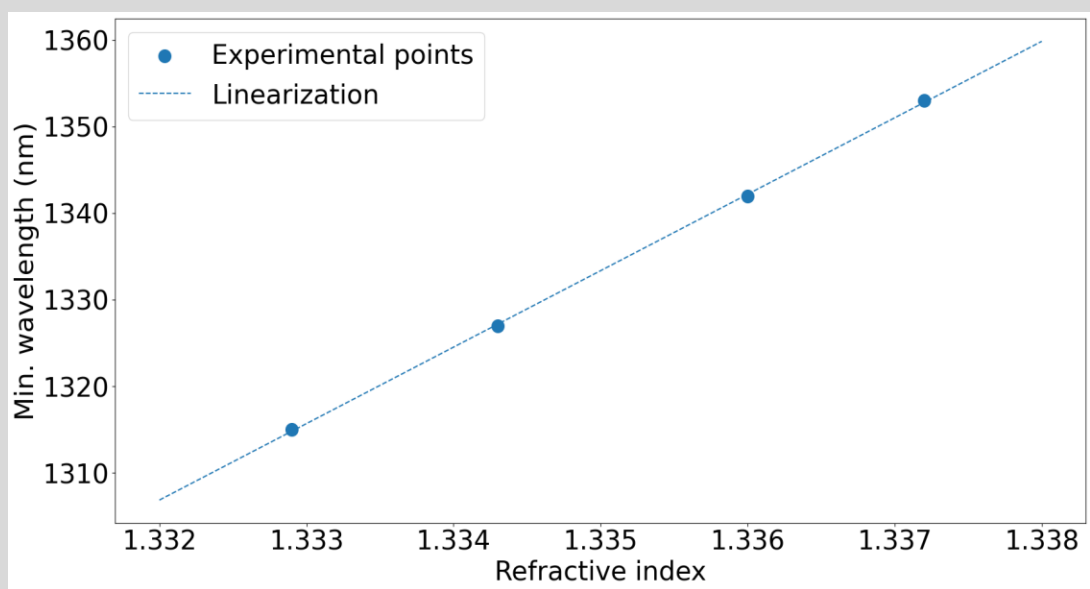
```
S[Au](sim) = 11616.82 nm/RIU

S[Ag](sim) = 8831.78 nm/RIU

FWHM[Au](sim) = 161.00nm

FWHM[Ag](sim) = 124.00nm
```





Avaliar a Figura de Mérito

É a grandeza adimensional que determina qualidade da estrutura para sensorização.

$$FOM = \frac{S}{FWHM}$$

$$FOM[Ag](sim) = 71.22$$

$$Fom[Au](sim) = 72.15$$



Deposição por RF Magnetron Sputtering

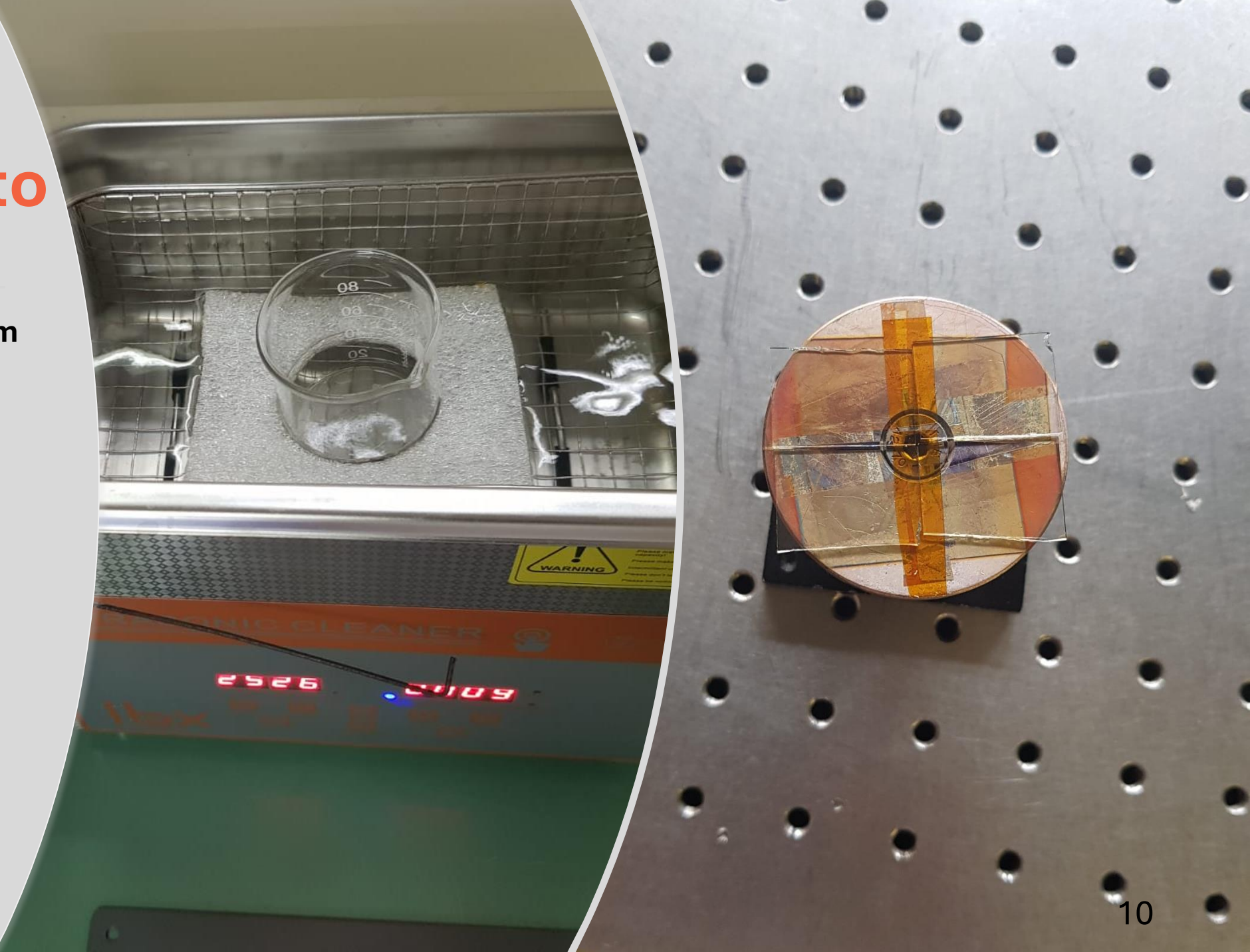
Procedimento

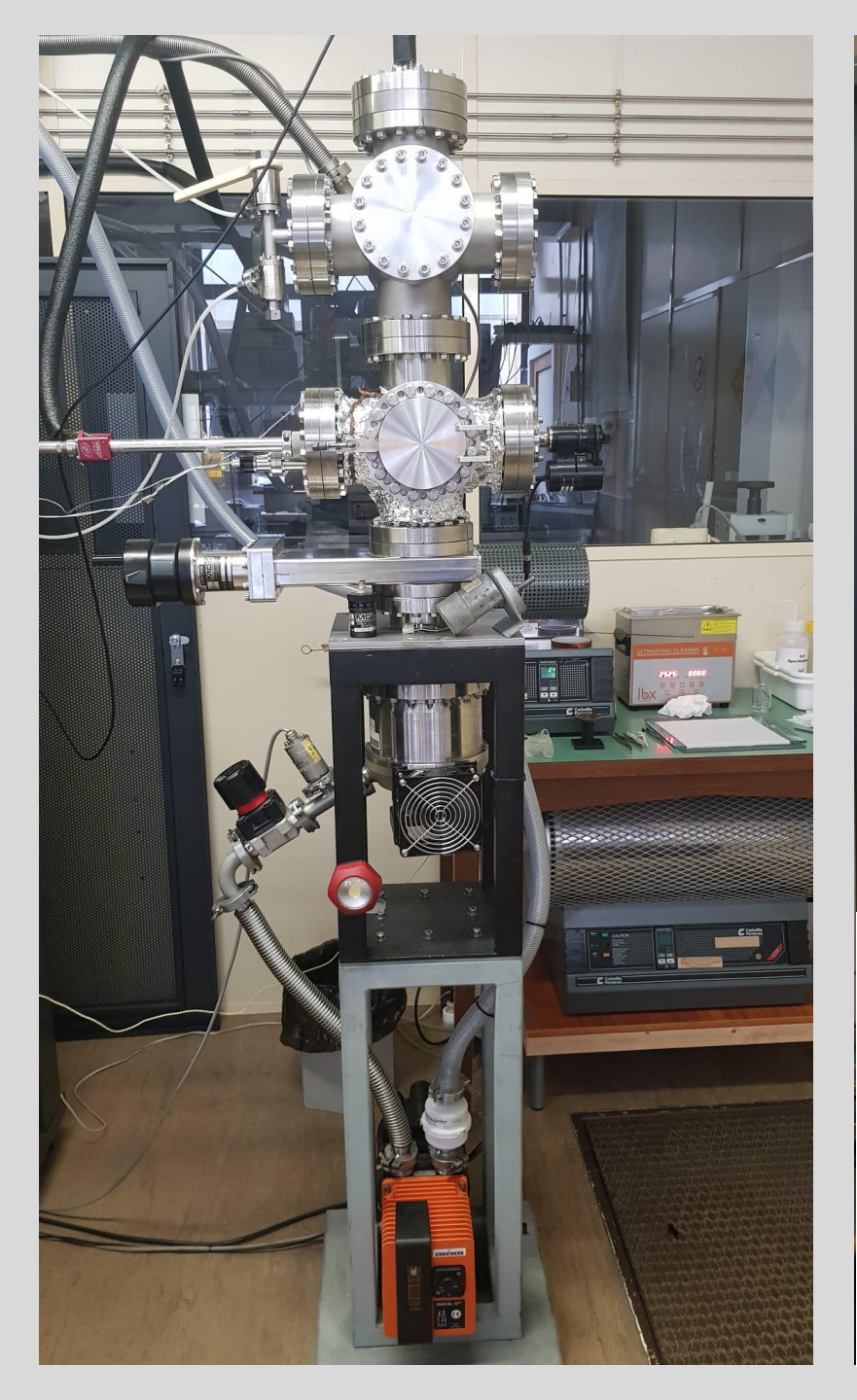
Limpeza dos substratos em banho de ultrasons:

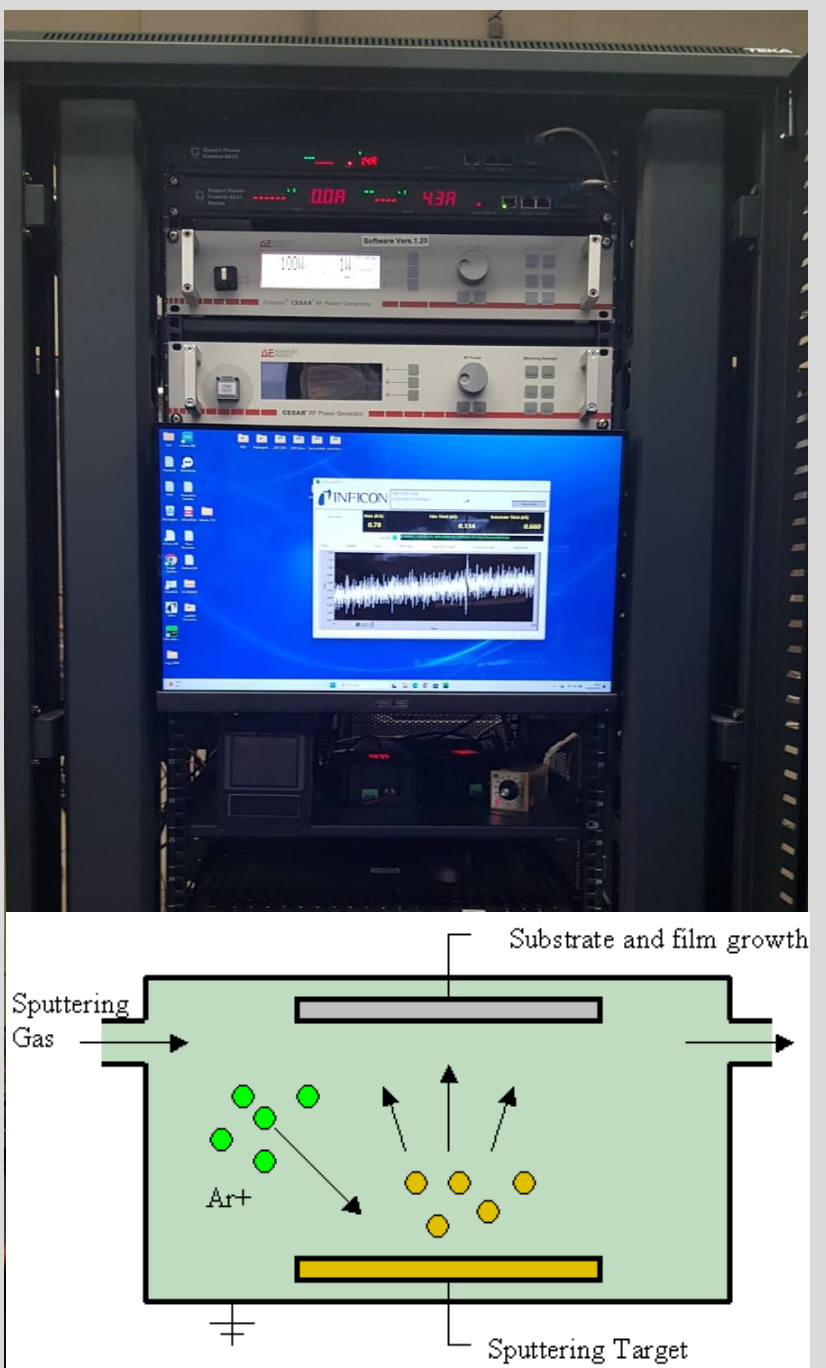
• 3min: Acetona

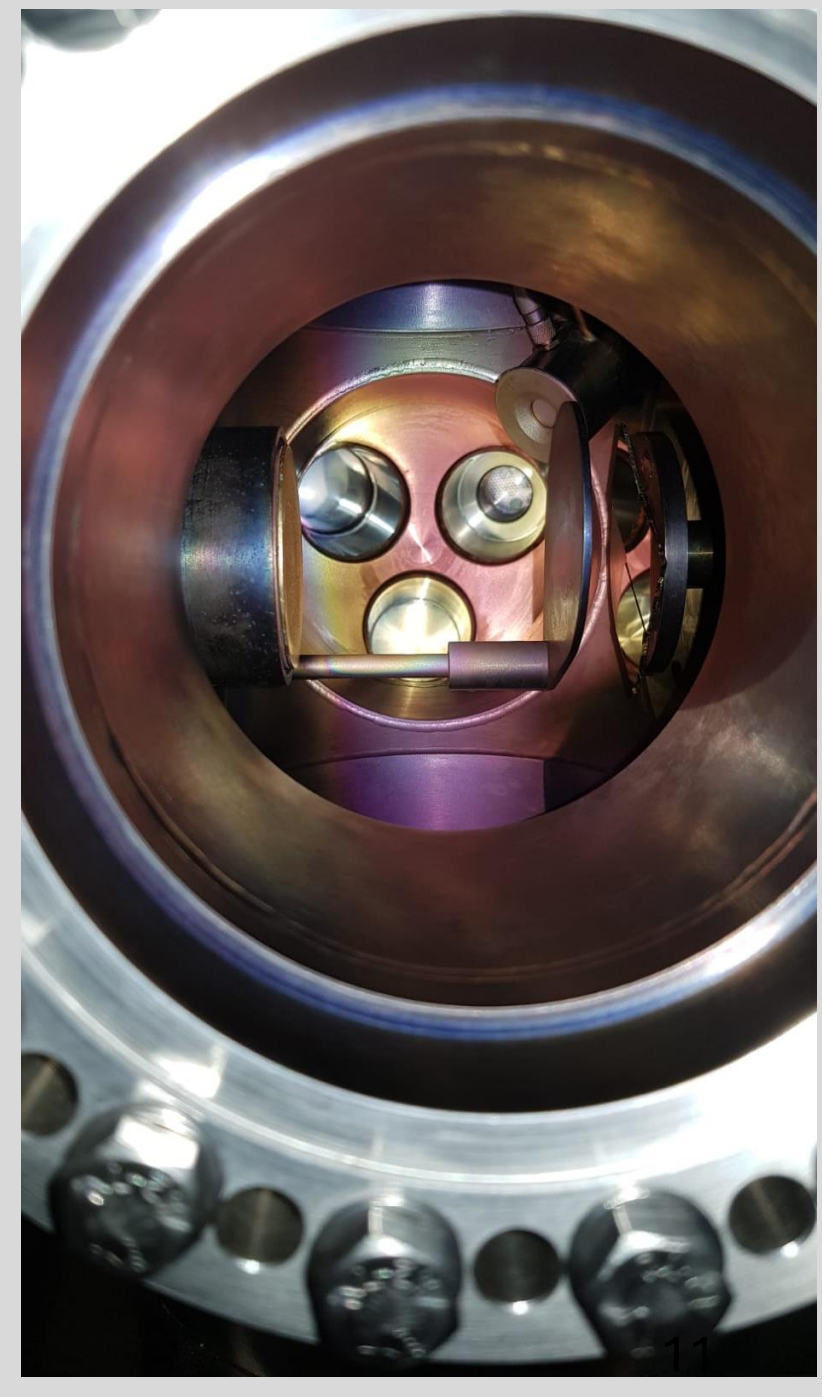
• 3min: Etanol

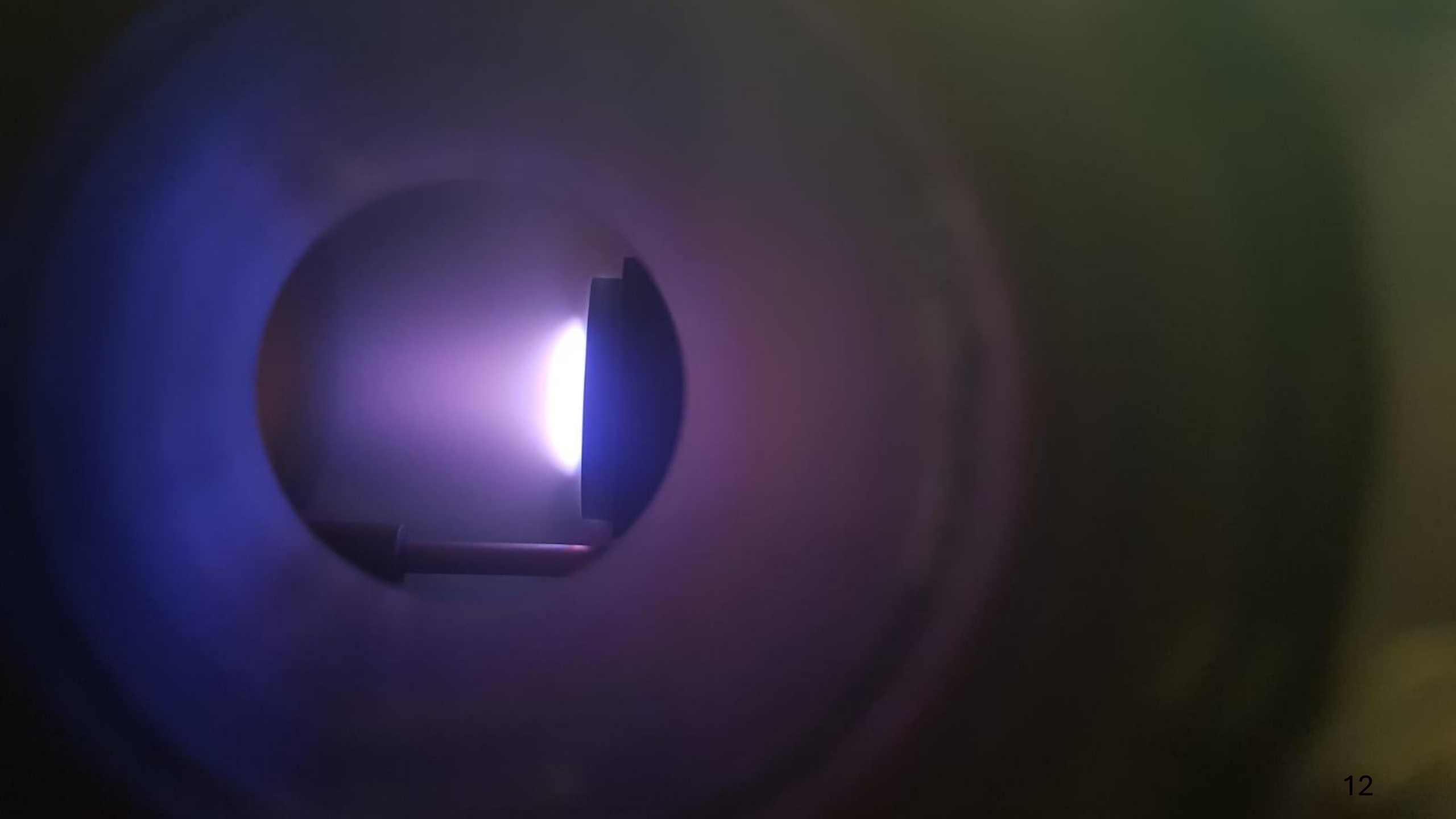
• 3min: Água Ultrapura





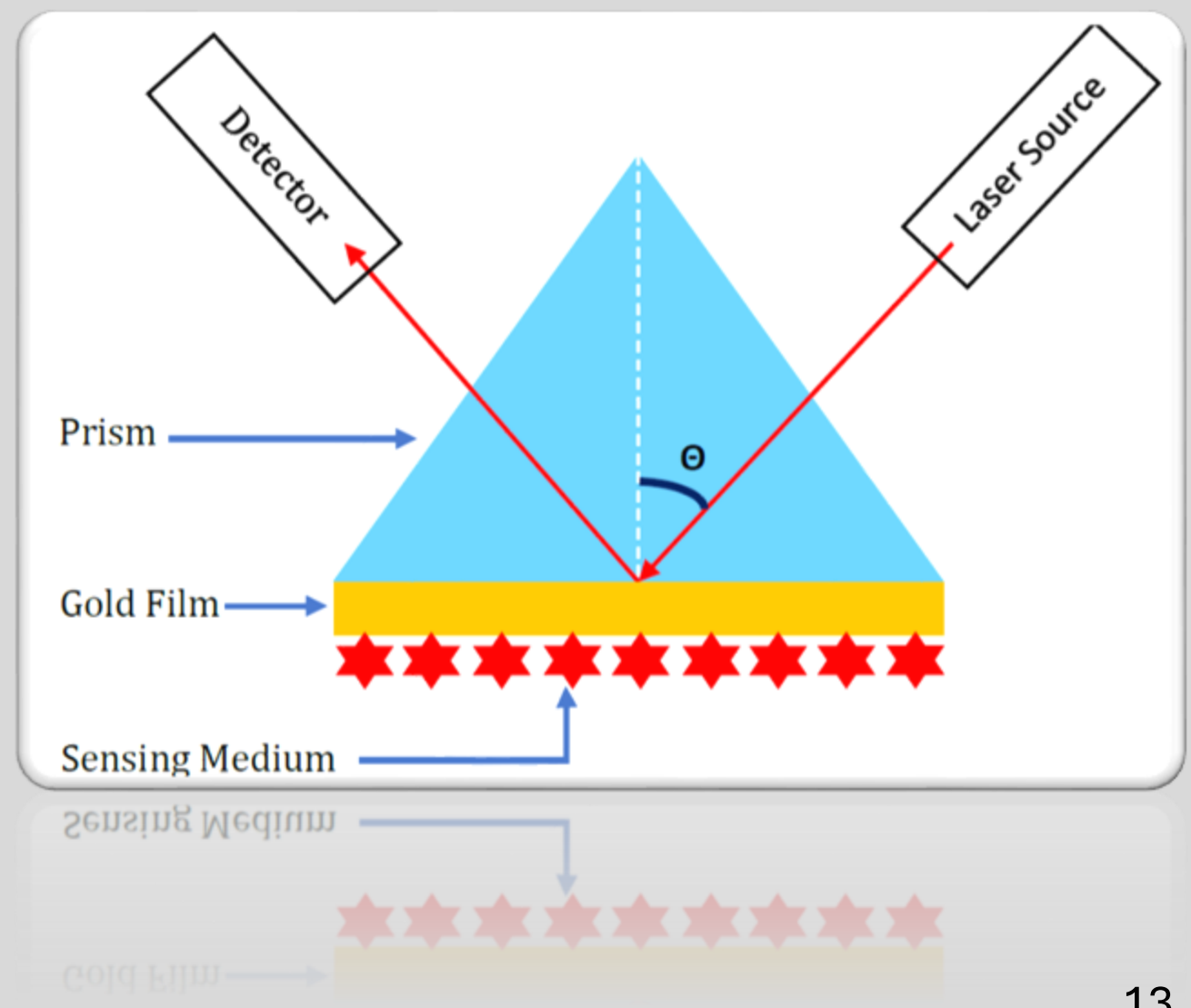




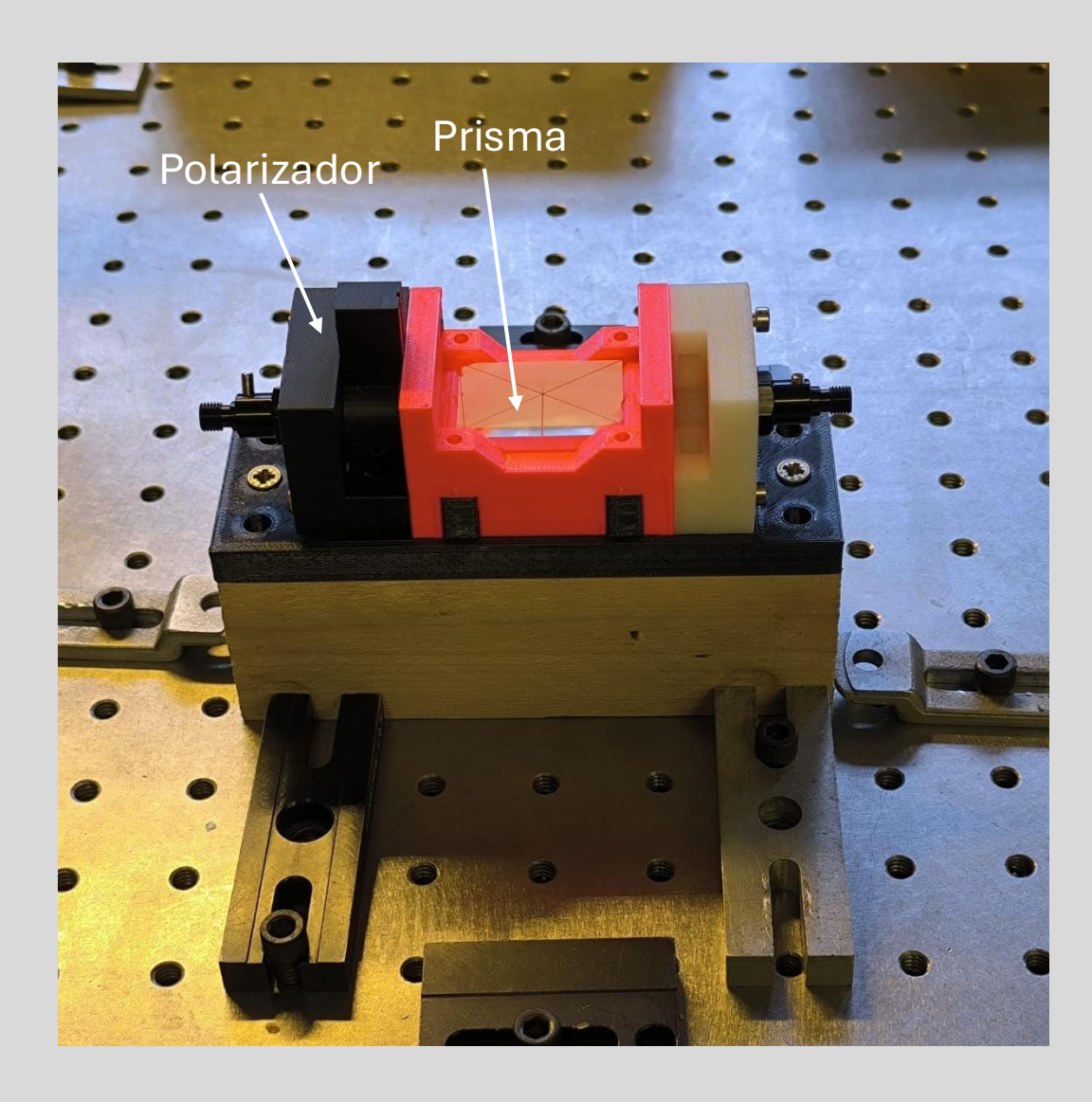


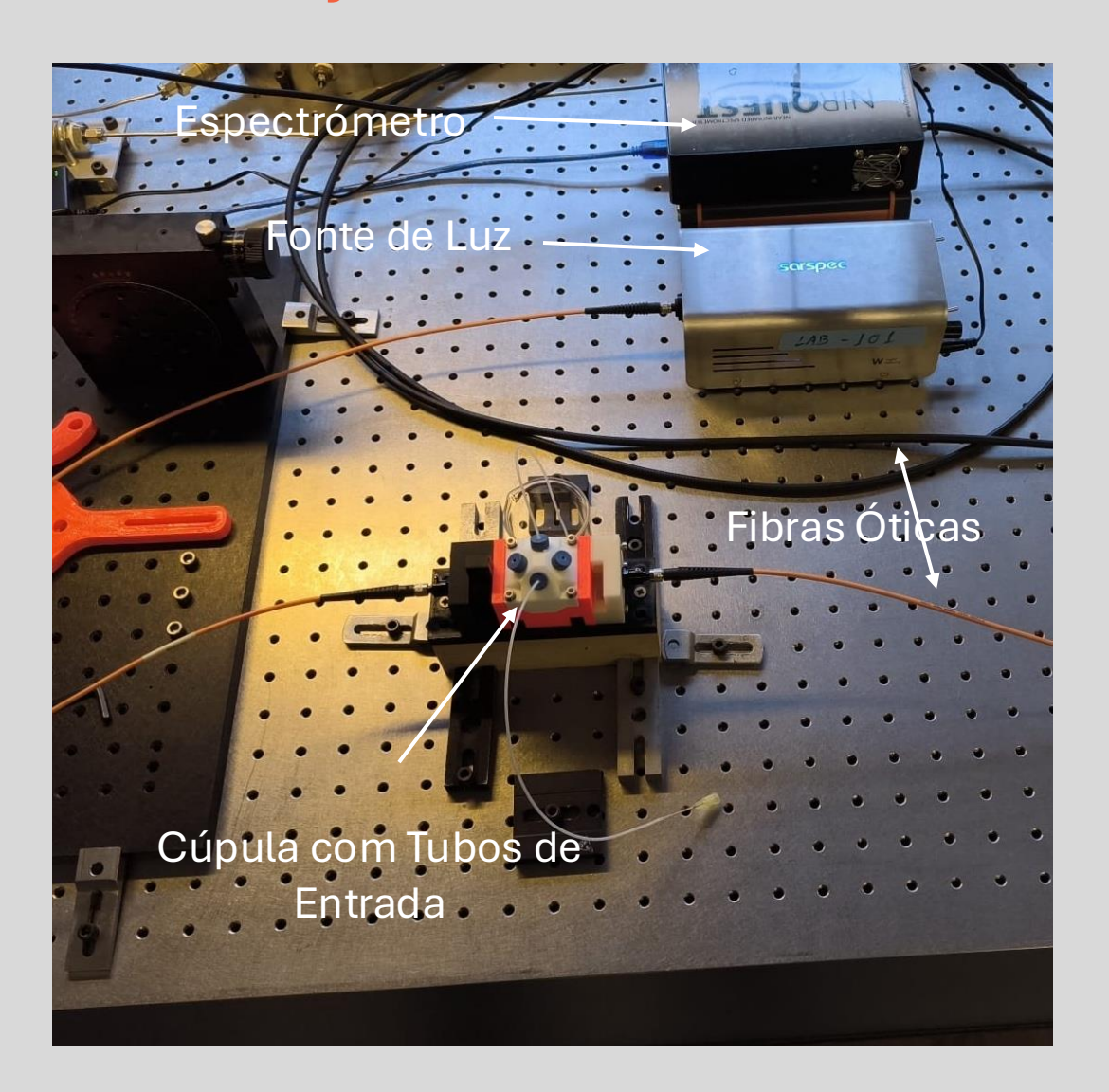
Caracterização experimental

- Configuração de Kretschmann
- Utilização de prisma com reflexão total no filme de SPR

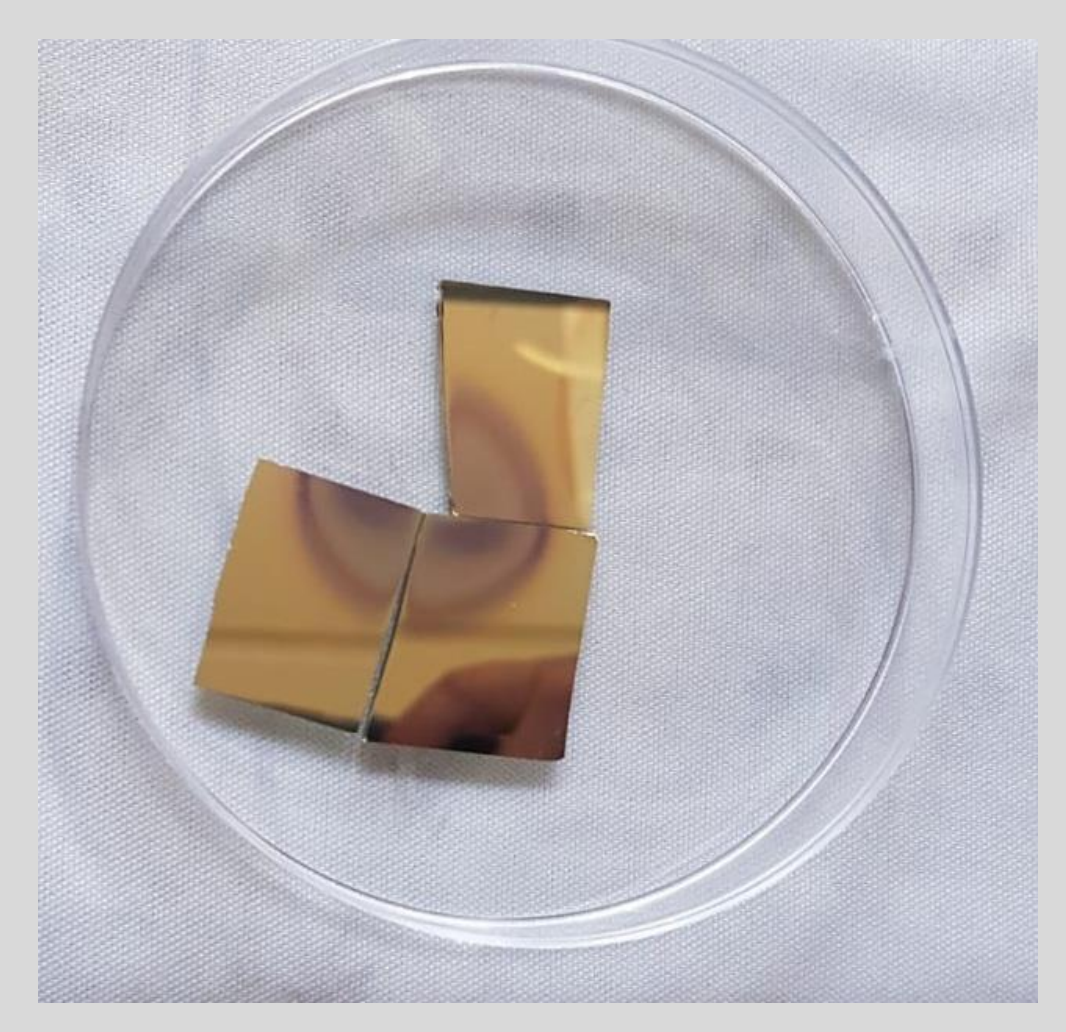


Sistema de Caracterização

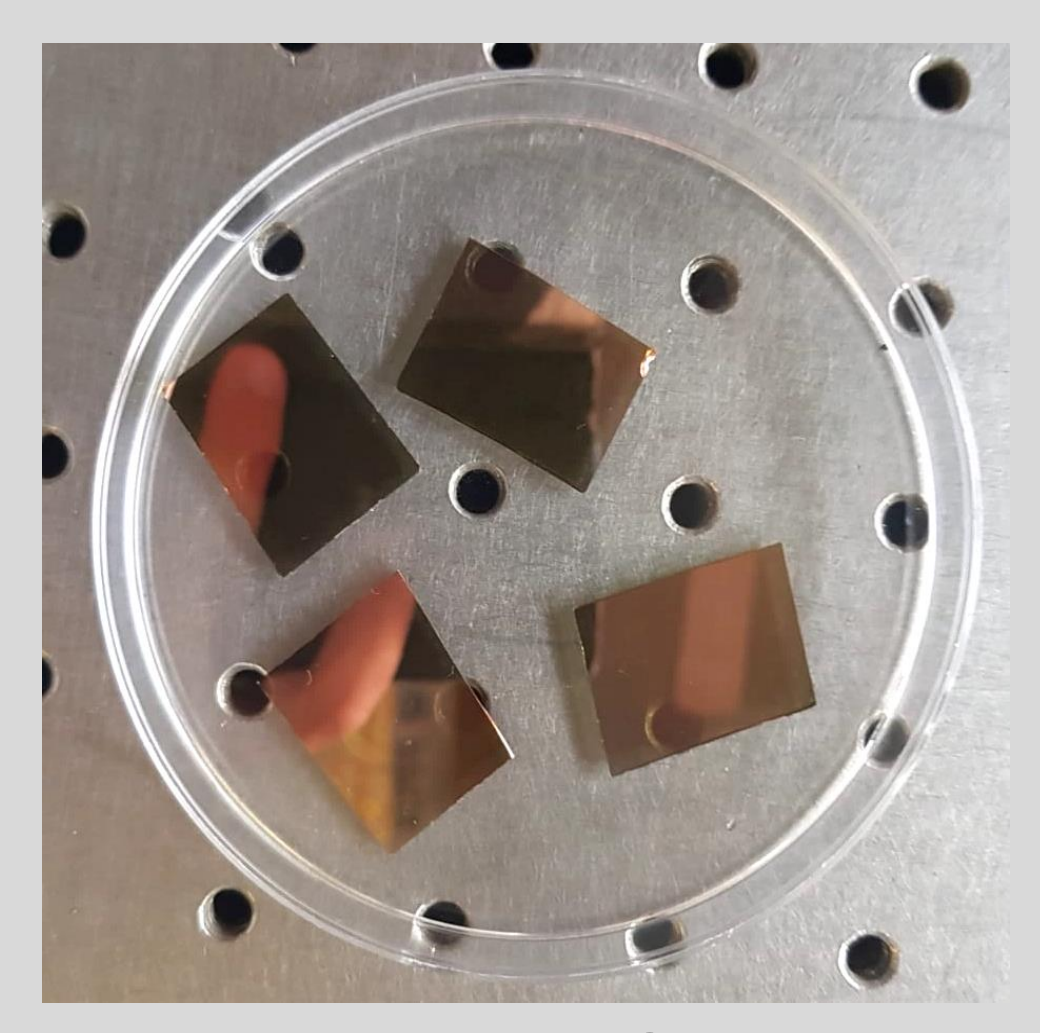




Resultados

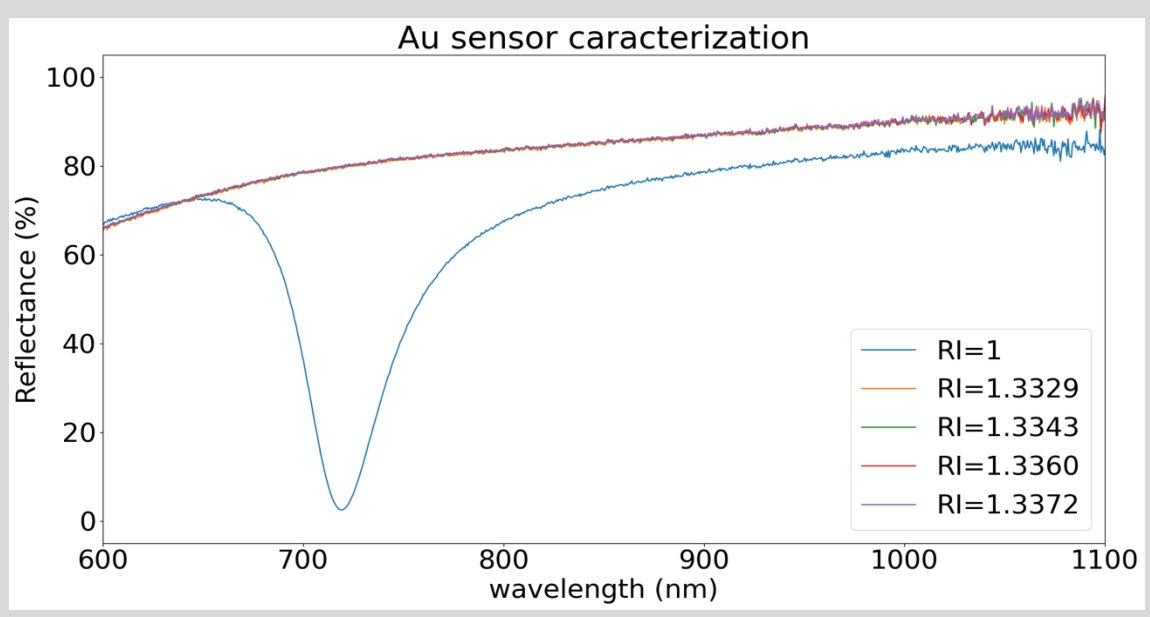


Filmes Ag - Prata



Filmes Au - Ouro

Resultados - Au



Au sensor caracterization

1300

wavelength (nm)

1200

1400

1500

1600

1700

100

Reflectance (%)

20

900

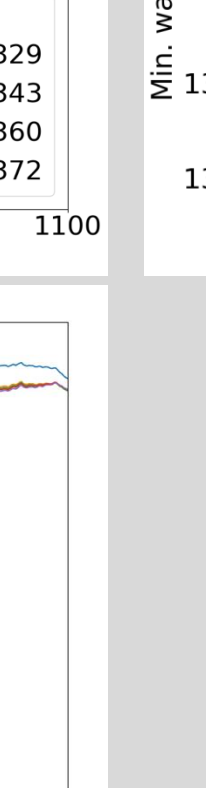
RI=1

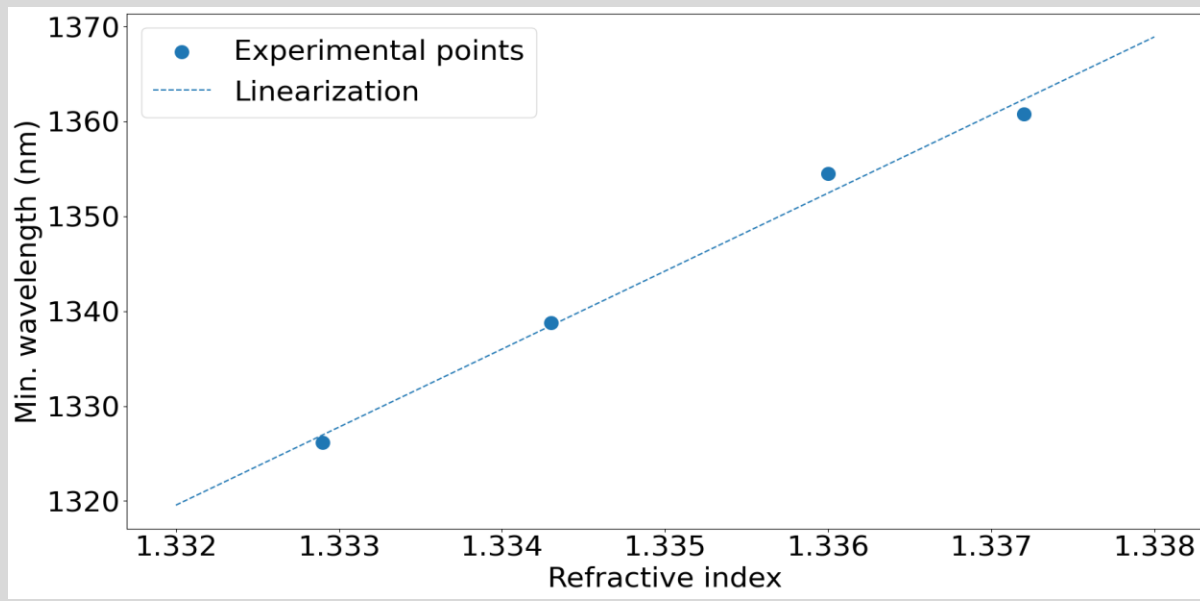
1000

RI=1.3329 RI=1.3343

RI=1.3360 RI=1.3372

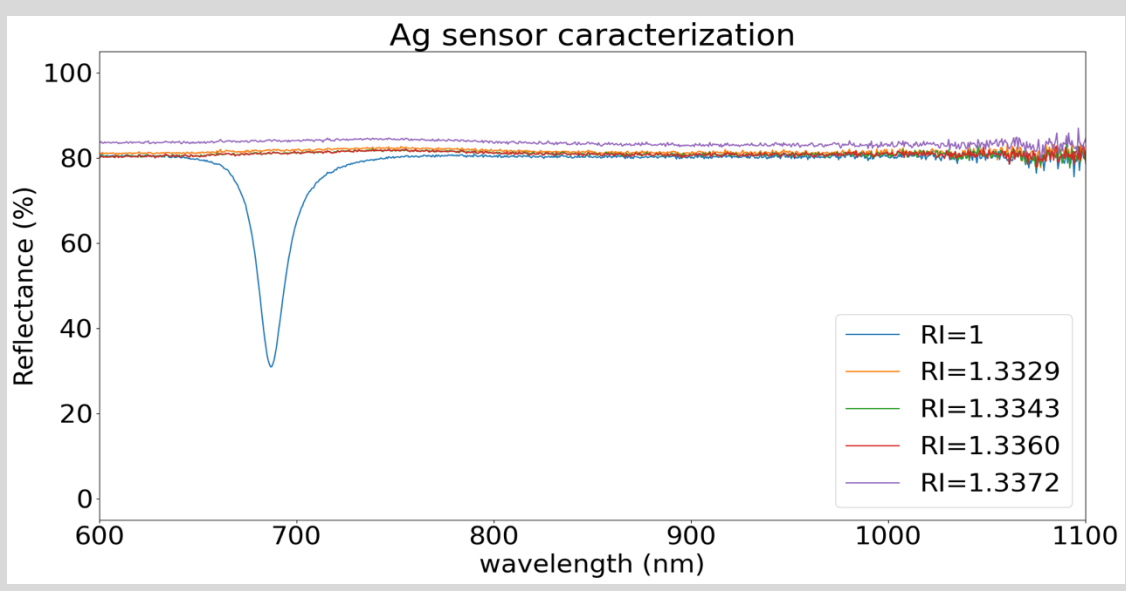
1100

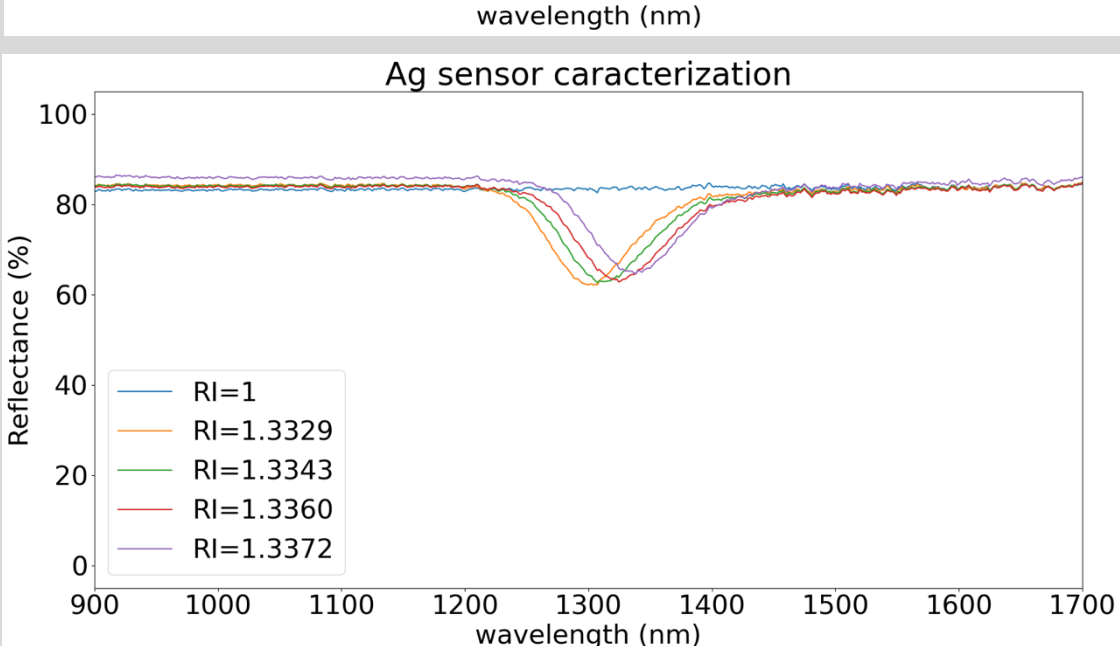


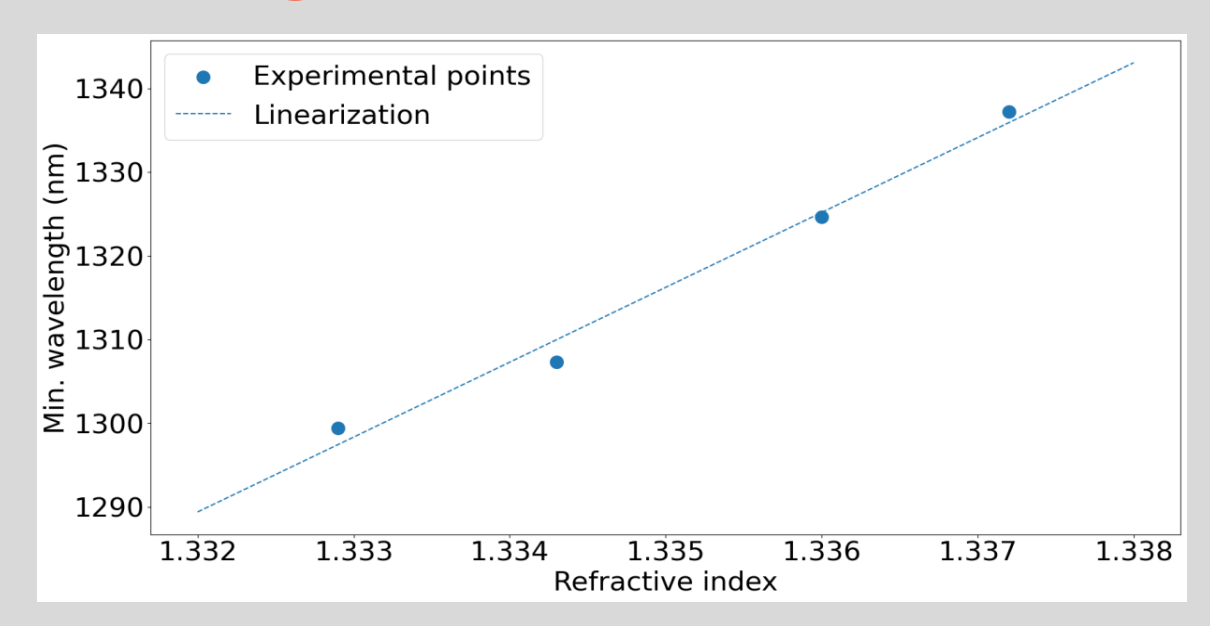


- $> S = 8226.54 \, nm/RIU$
- $FWHM = 144.66 \, nm$
- FOM = 56.8

Resultados - Ag

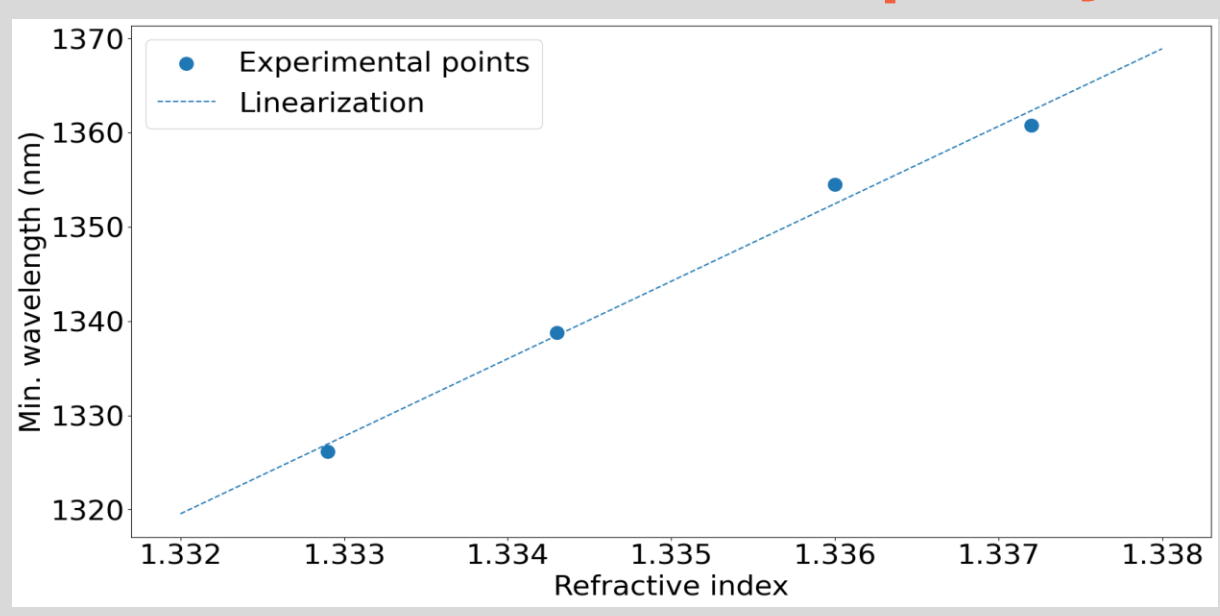


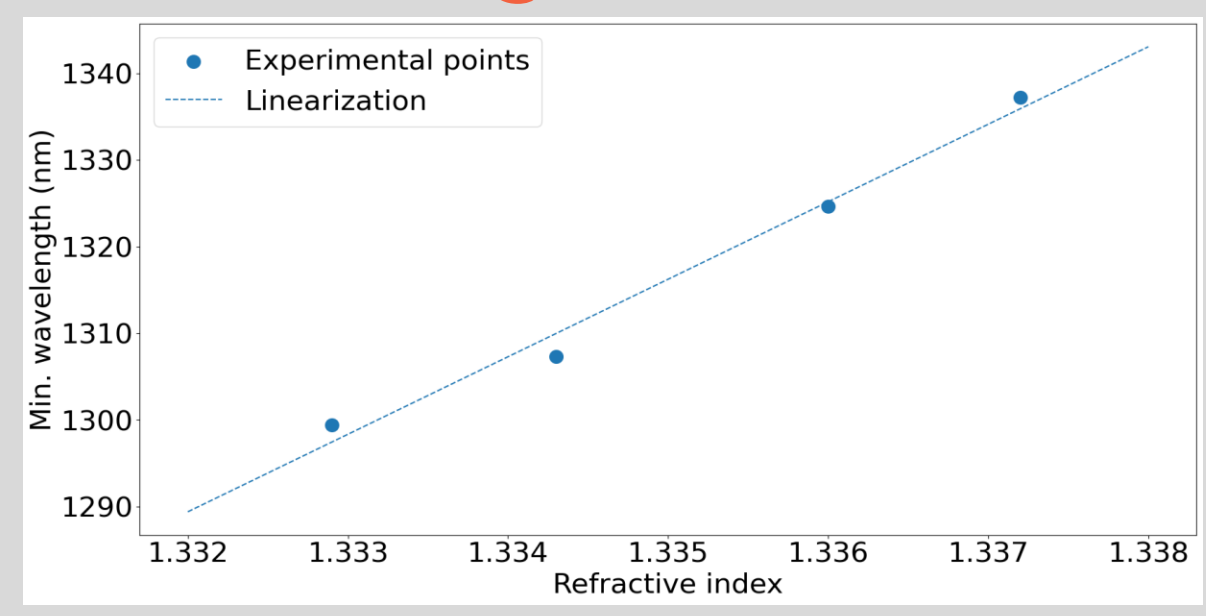


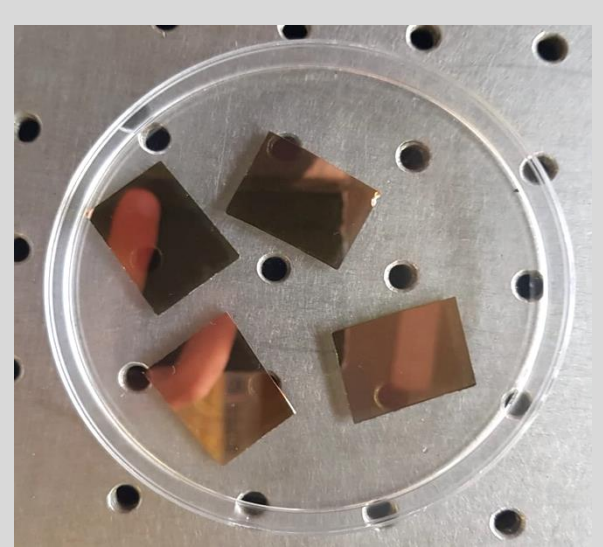


- $> S = 8947.2 \, nm/RIU$
- $\succ FWHM = 191nm$
- FOM = 46.6

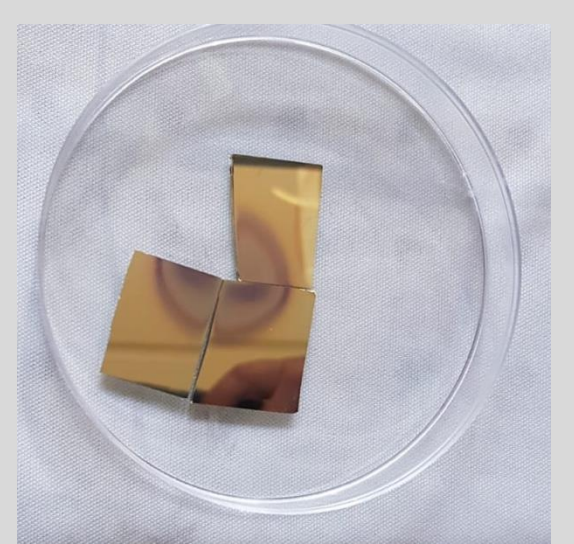
Comparação entre Au e Ag







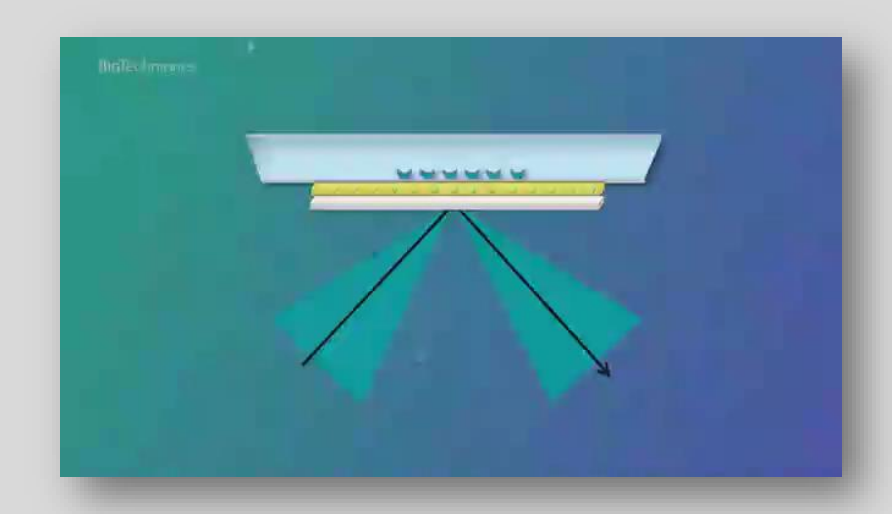
- $> S = 8226.54 \, nm/RIU$
- $FWHM = 144.66 \, nm$
- FOM = 56.8

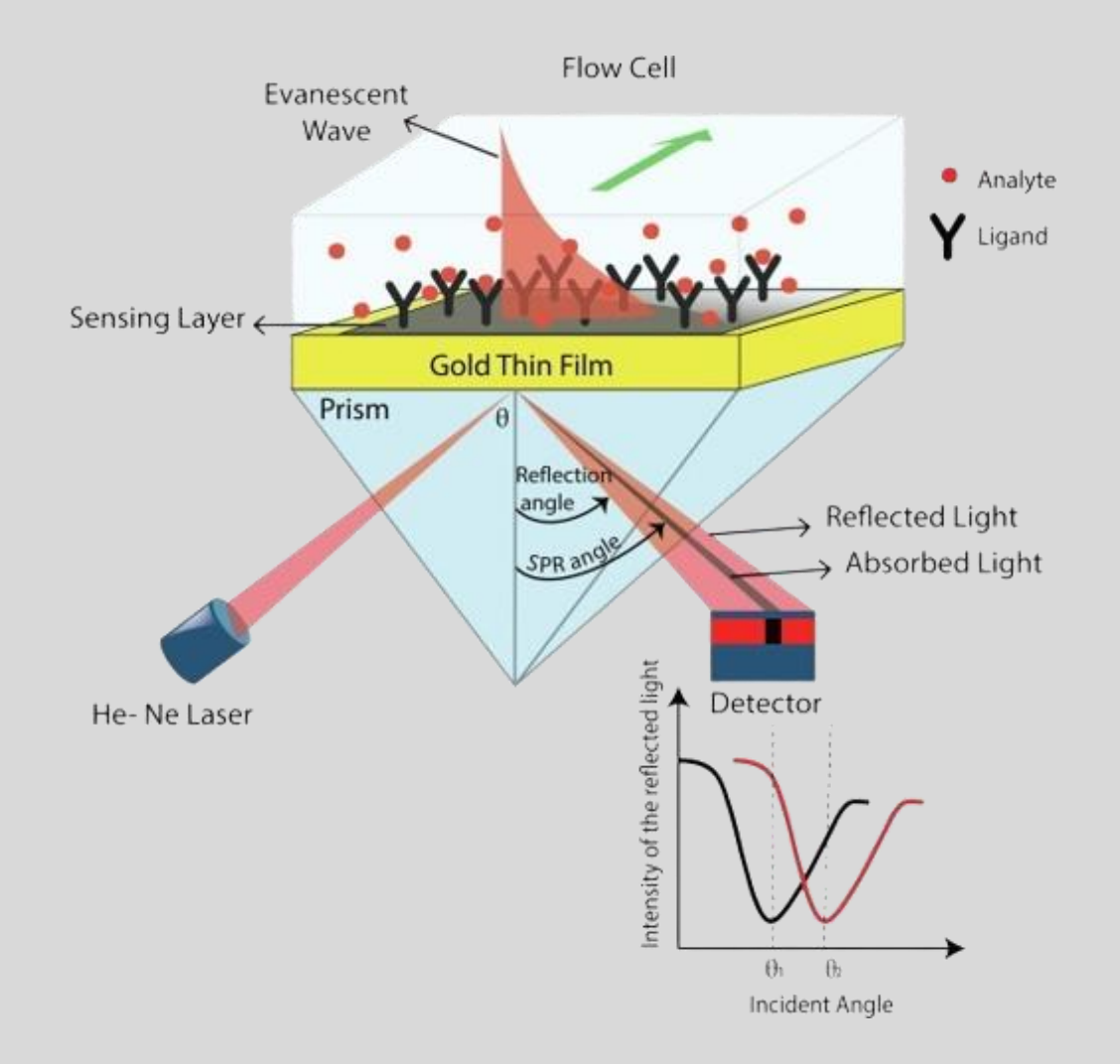


- $> S = 8947.2 \, nm/RIU$
- $\succ FWHM = 191nm$
- FOM = 46.6

Aplicações desta Tecnologia

 Deteção de flutuações no índice de refração – ou permitividades – de diferentes materiais





Conclusão

- Através da simulação, a prata e o ouro têm propriedades óticas semelhantes
- Experimentalmente, o ouro tem uma estrutura mais estável e permite uma melhor deposição, logo obtivemos melhores resultados



Obrigado pela atenção e oportunidade de participar neste projeto!

FIM!



